

ANNA WRZESIŃSKA, JACEK WRZESIŃSKI

## Gdzie pochowano mieszkańców grodu w Grzybowie?

**ABSTRAKT:** Artykuł prezentuje wyniki badań kości ludzkich pochodzących z trzech grobów szkieletowych wkopanych we wczesnośredniowieczne nawarstwienia północnej partii majdanu grodu w Grzybowie oraz analizę luźnego materiału kostnego z warstw zasypiskowych. Są to pierwsze pochówki szkieletowe, jakie odsłonięto i udokumentowano na grodzie. Analizowane szczątki należały do osób dorosłych obu płci oraz dzieci – w tym płodu i noworodka. W sezonie wykopaliskowym w 2018 roku odsłonięto dwa groby szkieletowe orientowane na osi E-W. W większej jamie grobowej spoczywały szczątki osoby dorosłej (grób nr 1/2018), w mniejszej – pochówek dziecka (grób nr 2/2018). W sezonie 2019 roku odsłonięto kolejny grób orientowany wzdłuż osi E-W (grób nr 1/2019), gdzie w jamie spoczywał kompletny szkielet osobnika dorosłego, u którego, przy kości udowej prawej i w zasypisku grobu, odsłonięto kości szkieletu dziecka. Materiał szkieletowy wydatowano metodą radiowęglową  $^{14}\text{C}$  na wiek XII/XIII.

**SŁOWA KLUCZOWE:** Grzybowo gród, stan. 1, wczesnośredniowieczne groby szkieletowe, chronologia, analiza antropologiczna

**ABSTRACT:** The article presents the results of a study of human bones from three skeletal graves buried in the early medieval stratification of the northern part of the maidan of the Grzybowo stronghold, as well as an analysis of loose bone material from backfill layers. These are the first skeletal burials to be exposed and documented in the stronghold. The analysed remains belonged to adults of both sexes and to children – including a foetus and a newborn. The 2018 excavation season uncovered two skeletal graves oriented on the E-W axis. In the larger grave pit was situated the burial of an adult individual (grave no. 1/2018), and in the smaller one the burial of a child (grave no. 2/2018). In the 2019 season, another grave oriented along the E-W axis was uncovered (grave no. 1/2019) where the pit contained the complete skeleton of an adult and the bones of a child's skeleton which were exposed near the right femur and in the grave fill. The skeletal material was dated by the  $^{14}\text{C}$  radiocarbon method to the 12th/18th centuries, respectively.

**KEYWORDS:** Grzybowo stronghold, site 1, early medieval skeletal graves, chronology, anthropological analysis

## Wstęp

Zainteresowanie badawcze wczesnośredniowiecznym grodem w Grzybowie sięga XIX wieku [Schwartz 1875; Danielewski, Wrzesiński, Głód 2021, gdzie pełniejsza literatura]. Jednak archeologiczne prace wykopaliskowe rozpoczęły się w roku 1989, a ich inicjatorem był Olgierd Brzeski [Brzeski 1936-1938; Brzeski, Kurnatowska, Tuszyński 2000; Kurnatowska, Tuszyński 2009; Dominiczak-Głowacka 2010; Wrzesiński 2018; Wrzesiński, Danielewski 2018]<sup>1</sup>. Podczas trwających do 2007 roku prac założono 57 wykopów różnej wielkości. W ich wyniku rozpoznano częściowo konstrukcje wałów grodu, zdefiniowano jego początki, a także ujawniono obecność obiektów mieszkalnych i gospodarczych jego wnętrza. Badania pozwoliły na wysunięcie hipotezy m.in. o dwufazowości funkcjonowania grodu oraz wyznaczono ramy chronologiczne jego funkcjonowania. Początki grodu łączy się z powstaniem niewielkiego gródka w latach 20. X wieku, rozbudowanego w latach 50. tegoż stulecia. Za kres funkcjonowania grodu przyjęto lata 30. XI wieku, z możliwością zakończenia jego użytkowania w drugiej ćwierci tego stulecia<sup>2</sup>. W konsekwencji rozbudowy gród obejmujący powierzchnię około 4,4 ha funkcjonował zaledwie 5 pokoleń.

Po kilkuletniej przerwie, w roku 2018, na grodzie wznowiono prace wykopaliskowe<sup>3</sup>, poprzedzone nieinwazyjnymi badaniami georadarowymi, geomagnetycznymi, elektrooporowymi, połączonymi z rozpoznaniem lotniczym, fotogrametrią i LiDAR-em [Bogacki et al. 2018]. Nowe badania były elementem grantu obejmującego szerszą tematykę badawczą. Miały one na celu weryfikację i podsumowanie dotychczasowych badań poszerzonych o kontekst zaplecza, wnosząc nowe dane pozwalające na pełniejszą ocenę roli grodu<sup>4</sup>.

Uzupełnieniem obrazu osadnictwa obszaru, na którym zlokalizowano gród, są badania powierzchniowe przeprowadzone w ramach AZP w latach 1985<sup>5</sup> oraz podczas drugiego przejścia w roku 2010<sup>6</sup>. Na ich podstawie, a także w oparciu o materiały archiwalne<sup>7</sup>, możemy stwierdzić, że osadnictwo wczesnośredniowieczne interesującego nas obszaru prezentuje się skromnie [por. Brzostowicz 2003; Wrzesiński 2018; Wrzesiński, Danielewski 2018; Danielewski 2021; Danielewski, Wrzesiński 2021]. W trakcie badań terenowych, korzystając także z wywiadu terenowego wśród miejscowej ludności, nie uzyskano danych co do

<sup>1</sup> Badaniami w terenie realizowanymi w latach 1989-2007 kierował Mariusz Tuszyński, a w ostatnich sezonach Krystyna Sulkowska-Tuszyńska. Konsultantem badań była prof. Zofia Kurnatowska.

<sup>2</sup> Por. Krąpiec [2021:187-190].

<sup>3</sup> Prace w latach 2018-2021 prowadziło Muzeum Pierwszych Piastów na Lednicy, kierował nimi Jacek Wrzesiński.

<sup>4</sup> Gród był tematem projektu naukowego „Gród w Grzybowie i jego zaplecze osadnicze w kontekście pogłębionych badań interdyscyplinarnych”, kierowanego przez prof. UAM dr. hab. Marcina Danielewskiego, a realizowanego z funduszy NCN (nr UMO-2017/25/B/HS3/00016).

<sup>5</sup> Badania przeprowadzone przez Urszulę i Krzysztofa Szamałków.

<sup>6</sup> Badania przeprowadzone przez pracowników Rezerwatu Archeologicznego Gród w Grzybowie.

<sup>7</sup> Archiwalia w Muzeum Archeologicznym w Poznaniu oraz publikacje SIM.

domniemanego miejsca chowania zmarłych w bezpośrednim sąsiedztwie grodu. Jedyną informacją o cmentarzysku szkieletowym w pobliżu grodu jest wiadomość o kilku pochówkach w miejscowości Marzenin, oddalonej od grodu o około 7 km [SIM 1972: 26]. Pochodzą stamtąd 4 groby szkieletowe o skromnym wyposażeniu, które na podstawie przesłanek można datować na fazę D wczesnego średniowiecza<sup>8</sup>. A więc, jeśli w jakiś sposób można je łączyć z okresem funkcjonowania grzybowskiego grodu, to raczej z jego młodszą fazą. Innych informacji o stanowiskach sepulkralnych w pobliżu grodu nie posiadamy.

Identyfikacja miejsca grzebania zmarłych z czasów powstawania grodu i początków jego funkcjonowania może być niezwykle trudna. Początki grodu grzybowskiego sięgają I. ćwierćwiecza X wieku. Wiek X to czas, gdy na obszarze Wielkopolski wciąż był stosowany ciałopalny obrządek pogrzebowy. W jaki sposób deponowano spalone szczątki zmarłych, trudno jednoznacznie określić. W zasadzie brak jest grobów ziemnych z tego okresu. Dla Słowian w ich początkowym okresie jedyną formą pogrzebu było ciałopalenie, a od VIII wieku obserwujemy stopniowe wypieranie go przez inhumację. Należy pamiętać, iż przemiany związane ze sposobem chowania zmarłych powiązane są z głębokimi zmianami w obszarze ideologii. Odejście od tradycji przodków musiało łączyć się z przewrotem w sferze wierzeń, zwłaszcza tych związanych z wyobrażeniami dotyczącymi zaświatów i „sposobu” przechodzenia w inny świat. W miarę upływu czasu sens eschatologiczny palenia ciał musiał stopniowo się zacierać, choć na poszczególnych obszarach zajmowanych przez Słowian przebiegało to w różnym tempie. Zmieniały się też relacje między społecznościami żywych i umarłych. Najprawdopodobniej nowy rytuał (związany z pojawieniem się nowej religii) nie odbierał perspektywy bytowania na „tamnym świecie”, jednocześnie nie kłócił się całkowicie z dotychczasowymi wierzeniami i wyobrażeniami drogi w zaświaty.

Obszar Słowiańszczyzny, na którym około połowy X wieku zaczęła się formować domena Piastów, zaliczany jest do strefy „bezpochówkowej” [por. Zoll-Adamikowa 1979: 220-221, ryc. 56; por. też 1988; 2000]. Jest to jednak obraz oddający raczej ograniczone możliwości skutecznych badań archeologicznych niż ówczesną rzeczywistość. Na obszarze Wielkopolski coraz częściej pojawiają się informacje o pochówkach ciałopalnych pochodzących ze starszych faz wczesnego średniowiecza. Ciekawe dane posiadamy z cmentarzyska w Bilczewie, na którym odkryto 103 groby ciałopalne i 27 grobów szkieletowych [Gorczyca, Schellner 2012: 93, 97], co świadczy o istnieniu tam niezwykle interesującej nekropoli, początkowo ciałopalnej, a następnie birytualnej, której początki sięgają VII wieku i której funkcjonowanie określa się aż po połowę wieku XIII [Gorczyca, Schellner 2012: 86-89]. W tym samym rejonie mamy do czynienia z kilkoma innymi cmentarzy-

<sup>8</sup> Badania ratownicze przeprowadzono w 1958 roku. Cztery szkielety wyeksplorowano metodycznie. Przy jednym zarejestrowano nóż żelazny oraz naczynie gliniane w nogach zmarłego. Cmentarzysko zniszczone przy eksploatacji piasznicy. Z ustnych przekazów pochodzi informacja o grobach z grotami oszczepów i mieczami.

skami z grobami, w których chowano spalonych zmarłych. Należą do nich: badane ratunkowo i zniszczone ciałopalne cmentarzysko w Koninie, stan. B [Pieczyński 1967; Kóčka-Krenz 1974: 244], cmentarzysko w Ruminie (gm. Stare Miasto) z pochówkami szkieletowymi i ciałopalnymi [Gorczyca, Olińska 1989: 49-68], a także cmentarzysko birtualne w Kramsku [Gorczyca, Lipowczyk 2011: 19-28].

Do grupy nekropoli o tradycyjnym ciałopalnym grzebaniu zmarłych możemy zaliczyć cmentarzyska, na których odnotowywano obiekty sepulkralne, najczęściej zaliczane do grupy pochówków typu Alt Käbelich. Lecz są one wciąż nieliczne i dyskutowane [por. Czupryńska 2002; Krzyszowski 2008, 2010: zwłaszcza s. 200; Pawlak 2013: 205-207, 2018: 226, przyp. 3]. Rejestrowane groby ciałopalne najczęściej związane są z nekropolami, na których dominuje obrządek szkieletowy, stanowiąc niewielki odsetek pochówków. A ich chronologia mieści się w okresie funkcjonowania wspomnianych nekropoli, czyli najwcześniej od końca X wieku, chociaż ich czas powstania określa się na wiek XI [por. Wrzezińska, Wrzeziński 2021]. Jak dotąd w rejonie grzybowski nie natrafiono na jakiegokolwiek pochówki, które można by łączyć z okresem wczesnego średniowiecza. Dlatego też ostatnie odkrycie grobów szkieletowych na majdanie grzybowskiego grodu wydaje się niezwykle interesujące.

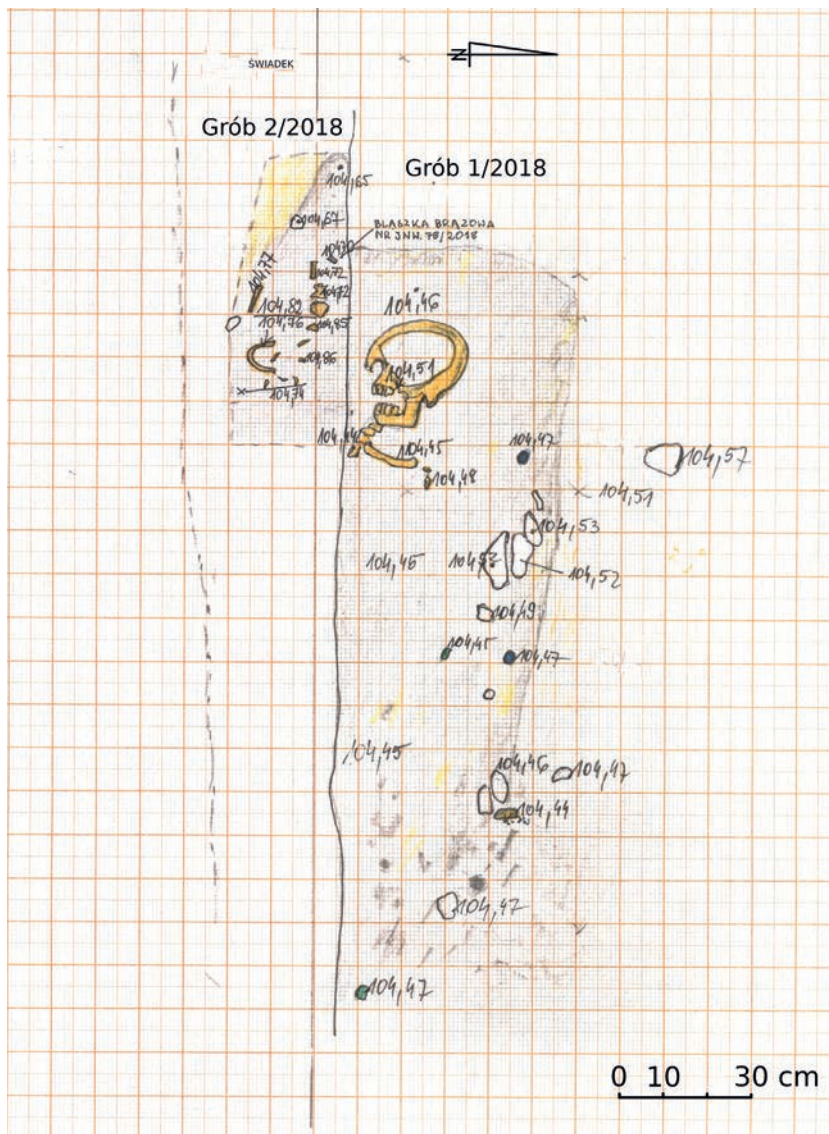
W trakcie badań sezonu 2018 w obrębie wykopu założonego na domniamanym terenie majdanu wcześniejszego grodu odsłonięto dwa groby szkieletowe, orientowane na osi E-W. W większej jamie grobowej znajdował się pochówek dorosłego osobnika (grób nr 1/2018), w mniejszej – pochówek dziecka, bardzo słabo zachowany (grób nr 2/2018) – patrz dokumentacja rysunkowa. W trakcie badań sezonu 2019 w wykopie założonym od zachodu (wykopu z grobami) odsłonięto kolejny grób (grób nr 1/2019), gdzie w jamie spoczywał kompletny szkielet osobnika dorosłego, u którego, przy kości udowej prawej i w zasypisku grobu, odsłonięto kości szkieletu dziecka. Ten grób również był orientowany wzdłuż osi E-W.

## Kontekst archeologiczny

**Grób 1/2018** odsłonięto w wykopie 2/2018 podczas zdejmowania świadka pomiędzy wspomnianym wykopem a niedokończonym i pochodzącym ze starszych badań wykopem, oznaczonym jako 55 z roku 2007. W trakcie mechanicznego zdejmowania świadka (o szerokości ponad 60 cm) uległy uszkodzeniu fragmenty szkieletu, zwłaszcza twarzoczaszka, odsłanianych ludzkich kości. Grób zarejestrowano na poziomie 104,62 m n.p.m., występował on na głębokości 100 cm poniżej współczesnego poziomu gruntu<sup>9</sup>. Jama grobowa, tj. jej niewielki skraj

<sup>9</sup> Obecność omawianych pochówków nie została ujawniona podczas wykonywanych na grodzie nieinwazyjnych badań geofizycznych – zarówno wcześniejszych, realizowanych przez Przemysława Kiszewskiego czy Romana Křivánka [2021:145-148], jak i w roku 2018, w ramach wspomnianego grantu prowadzonych badań przez Wiesława Małkowskiego [2021:121-131], Krzysztofa Misiewiczza i Radosława Mieszewskiego [2021:133-143].

zachodni, odkryty w 2018 roku przy profilu południowym wykopu nr 2/2018. Cały grób odsłonięto po usunięciu szerokiego na ponad 60 centymetrów świadka, pozostawionego między wykopem nr 2/2018 (plany nr rys. 21/2018, 29/2018) a starym wykopem nr 55 z badań wykopaliskowych z roku 2007 (ryc. 1, 2).



RYC. 1. Grzybowo gród, stan. 1, gm. Września. Rzut poziomy grobu 1/2018 i grobu 2/2018 (plan nr 21/2018). Rys. A. Wrzezińska

FIG. 1. Grzybowo stronghold, site 1, Września municipality. Floor plan of grave 1/2018 and grave 2/2018 (plan number 21/2018). Drawn by A. Wrzezińska



Zarys jamy grobowej był słabo czytelny – zarejestrowano skraj zachodni, fragment zarysu południowego i prawie cały odcinek północny. Kształt jamy był podłużny, zaokrąglony, o zachowanej długości od 140 cm do 190 cm (uchwycona długość ściany północnej jamy) i szerokości 60-76 cm. Jama i pochówek były sytuowane wzdłuż osi E-W, szkielet zorientowany czaszką w kierunku zachodnim (oś odchylenia na północ 34°). Strop jamy grobowej zarejestrowano na poziomie 104,62 m n.p.m., poziom niwelacyjny szkieletu na 104,46-104,40 m n.p.m., spąg jamy grobu na 104,35 m n.p.m. Grób odsłonięto na głębokości 100 cm, poniżej współczesnej powierzchni użytkowej, szkielet na głębokości 116-122 cm (czaszka – kości kończyn dolnych), spąg jamy grobowej na głębokości 127 cm. Pochówek złożono w grobie na grzbiecie w pozycji wyprostowanej. Czaszka wraz z żuchwą ułożona była na boku, na prawej skroni. Kończyny górne ugięte były w łokciach, ułożone szeroko, z dłońmi złożonymi na pasie i miednicy (rekonstrukcja opiera się na obserwacji ułożenia lewej ręki i fragmentu prawej kości ramiennej oraz kości prawej dłoni). Kończyny dolne (uszkodzone – odsłonięte częściowo) ułożone szeroko, wyprostowane.

W jamie grobowej przy szkielecie nie zarejestrowano żadnego depozytu. W zarysku grobu, na poziomie szkieletu i pod szkieletem, wystąpiły stopione kulki brązu (rejestrowano punktowe zabarwienie kości tlenkami miedzi) oraz drobiny węgla drzewnych. Grób wkopany był w warstwę III, którą można datować nie później niż na połowę XI wieku [Dębski 2021:261-308; Wrzeński 2021:159].

**Grób 2/2018** odsłonięto w trakcie eksploracji grobu 1/2018, przy zdejmowaniu świadka między wykopem 2/2018 a wykopem 55 z 2007 roku (plan nr 21/2018) (ryc. 1). Zarys jamy grobowej był czytelny tylko w skraju południowym, kształt podłużny, o uchwyconej długości około 80 cm. Z pochówku zachował się nieco zdekompletowany, ale w układzie anatomicznym, górny szkielet pozaczaszkowy oraz ułamki czaszki z żuchwą. Jama i pochówek były sytuowane wzdłuż osi E-W, szkielet zorientowany czaszką w kierunku wschodnim (oś odchylenia na południe 30°). Grób i szkielet zarejestrowano na poziomie 104,86-104,82 m n.p.m., spąg jamy grobu na głębokości 104,74-104,65 m n.p.m. Grób odsłonięto na poziomie szkieletu, na głębokości 76-80 cm, spąg jamy na głębokości 88-97 cm. Grób był wkopany powyżej grobu 1/2018, na wysokości skraju ściany południowo-zachodniej jamy grobu (nie uszkodzając jamy – około 25-20 cm powyżej). Nie stwierdzono wewnętrznych konstrukcji drewnianych. Pochówek był bardzo słabo zachowany, w ułożeniu w pozycji prawdopodobnie na wznak.

W jamie grobowej występowały węgle drzewne, przetopione kulki brązu oraz niewielka blaszka brązowa nr inw. 78/2018 (w partii spągowej jamy).

Grób wystąpił w warstwie III, którą na podstawie materiału ceramicznego, można datować nie później niż na połowę wieku XI [Dębski 2021: 261-308; Wrzeński 2021: 159].

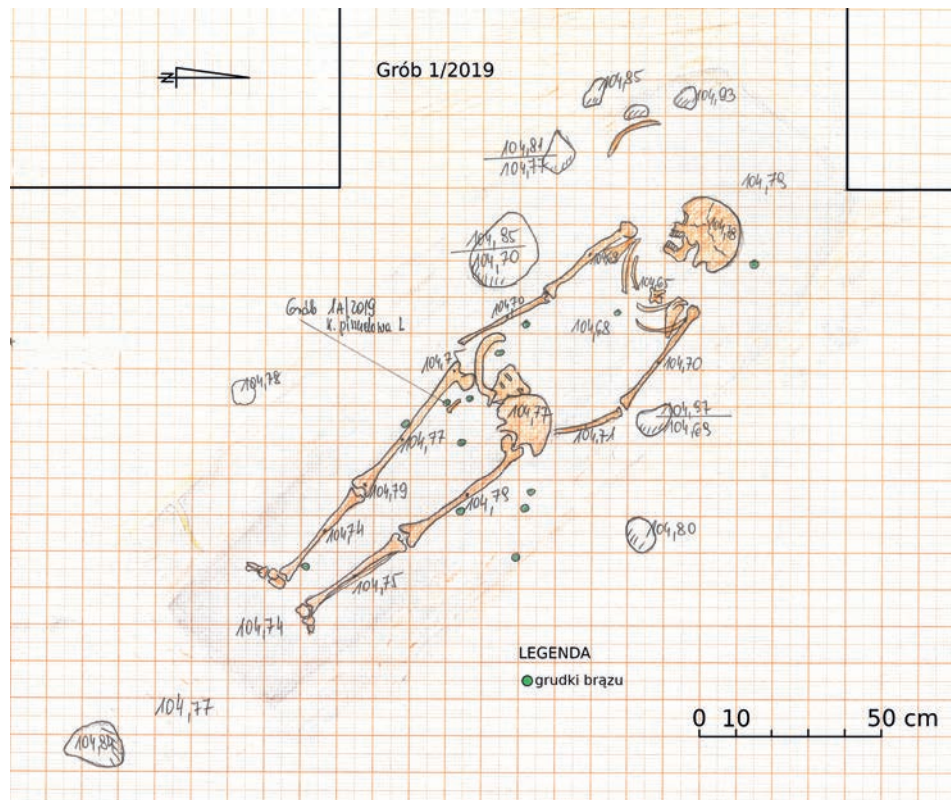
**Grób 1/2019** wystąpił w ramach wykopu 1/2019 i 1A/2019, poszerzonego w stronę zachodnią ze względu na odkrycie szkieletu (plany nr rys. 10/2019, 11/2019, 12/2019) (ryc. 3). Zarys jamy grobowej o kształcie zbliżonym do regularnego prostokąta, o długości jamy 215 cm i szerokości 75-80 cm. Jama i pochówek były sytuowane wzdłuż osi E-W, szkielet zorientowany czaszką w kierunku zachodnim (oś odchylenia na północ 34°). Strop jamy grobowej zarejestrowano na poziomie 104,90-104,80 m n.p.m., poziom niwelacyjny szkieletu na poziomie 104,78-104,74 m n.p.m., spąg jamy grobu na wysokości 104,68-104,58 m n.p.m. Grób odsłonięto na głębokości 74-84 cm, szkielet na głębokości 86-90 cm, spąg jamy na głębokości 96-106 cm. W partii wschodniej jamy stwierdzono wewnętrzną konstrukcję w postaci zachowanych smug drewnianej deski pod kośćmi kończyn dolnych, o szerokości 40-45 cm (uchwycone na długości około 70-80 cm) – prawdopodobnie szalunku, może trumny? Pochówek został złożony pośrodku jamy, na desce z drewnianym szalunkiem, wzmocnionym (wspartym?) dwoma dużymi kamieniami (odległość między kamieniami wyznaczała wolną przestrzeń trumny?, wynoszącą około 50 cm). Kamienie były ustawione na wysokości obu przedramion (wymiary kamieni: 20 x 15 cm i 12 x 20 cm). Szkielet złożony był bardzo wąsko i bardzo ściśle, w „całunie” (inaczej niż w grobie 1/2018), w pozycji wyprostowanej na wznak. Długość szkieletu *in situ* wynosiła 165 cm. Czaszka wraz z zuchwą była ułożona na boku, na prawej skroni. Kończyny górne były ułożone blisko tułowia: prawa wyprostowana i ściśle przy tułowiu, lewa lekko ugięta w łokciu, a przedramię i dłoń ułożone pod miednicą. Analizując ułożenie i poziom niwelacyjny poszczególnych odcinków szkieletu, stwierdzono silne opadnięcie (zapadnięcie się?) kośćca całego górnego szkieletu. Najsilniej, bo aż o 5-10 cm niżej, zapadły się w grobie kości kręgosłupa i kości obu kończyn górnych (bardzo równomiernie) oraz czaszka. Procesy podepozycyjne, procesy rozkładu drewna deski grobowej, spowodowały (prawdopodobnie) pęknięcie jej pod miednicą szkieletu i zapadnięcie się w obiekcie osadowym aż do miejsca ułożenia czaszki.

W grobie przy szkielecie nie zarejestrowano żadnego depozytu. W jamie, w stropie, na poziomie szkieletu i pod szkieletem, odnotowano drobiny węgla drzewnych (wiąz *Ulmus sp.*)<sup>10</sup> i stopione kulki/niekształtne grudki brązu (szlaki z ziemią?), które miejscowo zabarwiły kości szkieletu zmarłego. Owalne, niewielkie zielonkawe ślady tlenków miedzi zarejestrowano zarówno na czaszce, jak i na kościach szkieletu pozaczaszkowego. Wystąpiły na kości potylicznej, na powierzchni tylnej prawego talerza miednicznego, w połowie trzonu kości udowej prawej (powierzchnia tylna), na dalszej nasadzie prawej kości piszczelowej (powierzchnia tylna) oraz pośrodku trzonu (przedniej powierzchni) lewej kości udowej.

<sup>10</sup> Analiza węgla drzewnych wykonana przez dr. Tomasza Stępnika [maszynopis 2021].



Grób wystąpił na poziomie warstwy II<sub>2</sub>/II<sub>3</sub>, którą na podstawie materiału ceramicznego, można datować na okres nie późniejszy niż połowę XI wieku [Dębski 2021:261-308; Wrześniński 2021:166].



Ryc. 3. Grzybowo gród, stan. 1, gm. Września. Rzut poziomy grobu 1/2019 (plan nr 12/2019). Rys. A. Wrześnińska

FIG. 3. Grzybowo stronghold, site 1, Września municipality. Floor plan of grave 1/2019 (plan number 12/2019). Drawn by A. Wrześnińska

### Materiał szkieletowy i metodyka badań antropologicznych

Badaniom poddano ludzki materiał kostny pochodzący z trzech grobów szkieletowych wkopanych w nawarstwienia wczesnośredniowiecznego grodu, z wykopów założonych na majdanie grzybowskiego grodu, oraz luźny materiał zasy-piskowy, pochodzący z tych samych badań, ujawniony w toku oceny materiału kości zwierzęcych przez prof. dr hab. Daniela Makowieckiego.

Ekspertyzy antropologicznej dokonano na podstawie standardowego zestawu cech diagnostycznych, opracowanego według metod powszechnie stosowanych w antropologii przez zespół poznańskich antropologów [Malinowski, Strzałko 1985; Piontek 1999]. Za podstawowe cele badawcze uznano: ustalenie liczby pochowanych osobników, identyfikację płci i ocenę wieku w chwili śmierci [Acsádi, Nemeskéri 1970; Buikstra, Ubelaker 1994; Piontek 1999]. W dalszej kolejności za celowe uznano odtworzenie przyżyciowej długości ciała, będącej miarą ogólnej kondycji i stanu odżywienia osobnika, a w konsekwencji wskaźnikiem sytuacji bytowej [Wiercińska 1980; Piontek 1974].

Identyfikacja płci została dokonana w oparciu o cechy diagnostyczne identyfikowane na materiale szkieletowym obserwowane na czaszkach, zębach, miednicy i kośćcu [Acsádi, Nemeskéri 1970; Strzałko, Henneberg 1975; Ubelaker 1989; Malinowski, Bożiłow 1997; Piontek 1999]. Dodatkowo dla osobników dorosłych dokonano oceny ogólnej masywności kośćca oraz cech dymorfizmu płciowego, wyrażających się odmiennym ukształtowaniem morfologicznym szkieletów męskich i żeńskich.

Oceny wieku w chwili śmierci osobników dorosłych dokonano na podstawie analizy starcia koron zębowych, obliteracji zachowanych odcinków szwów czaszkowych, stopnia skostnienia nasad kości długich oraz na podstawie zmian morfologicznych na spojeniu łonowym [Ubelaker 1989; Piontek 1999]. Ocenę wieku w chwili śmierci dla szkieletów dzieci i osobników młodocianych oparto m.in. na kolejności wyrzynania się uzębienia mlecznego i stałego, długości trzonów kości długich oraz stopnia kostnienia poszczególnych odcinków szkieletu [Ubelaker 1989; Florkowski, Kozłowski 1994].

Wiek w chwili śmierci oznaczono w oparciu o 6-stopniową skalę oceny wieku według kryterium Andrzeja Malinowskiego i Władimira Bożiłowa [1997]: *Infans I* (dzieciństwo młodsze od 0 do około 6-7 lat), *Infans II* (dzieciństwo starsze od 6 do 12-14 lat), *Juvenis* (wiek młodzieńczy od 14 do 20-22 lat), *Adultus* (wiek dorosły od 22 do 30-35 lat), *Maturus* (wiek dojrzały od 35 do 50-55 lat), *Senilis* (wiek starczy powyżej 55 lat).

Wykonano szczegółowe pomiary kranio- i osteologiczne na dobrze zachowanych fragmentach czaszek i na kościach długich, według ogólnie przyjętej w antropologii metodyki [Martin, Saller 1957]. Do charakterystyki morfologicznej czaszek wybrano 15 cech pomiarowych. Z wartości pomiarów wyliczono średnie charakterystyki siedmiu cech ilorazowych (wskaźników) (tabela 1, tabela 3 i tabela 4). Stosując klasyfikację poszczególnych wskaźników [Martin, Saller 1957], scharakteryzowano kształty czaszek męskich i żeńskich [Malinowski, Bożiłow 1997]. Do oceny przyżyciowej wysokości i budowy ciała osobników dorosłych wykorzystano 22 cechy pomiarowe kości kończyn górnych i dolnych [Strzałko 1971]. Dla każdego osobnika wykonano rekonstrukcję przyżyciowej wysokości ciała (tabela 2 i tabela 5). Na podstawie pomiarów kości długich kończyn górnych i dolnych zrekonstruowano i obliczono średnią przeżyciową wysokość ciała

badanych osobników, stosując metody opracowane przez L. Manouvriera oraz M. Trotter, G. Gleser [Strzałko 1971; Stolarczyk, Lorkiewicz 1993; Malinowski, Bożiłow 1997; Piontek 1999]. Opisy i pomiary uzupełniają fotografie i rysunki.

Ocenę warunków życia i stanu zdrowia zmarłych oparto na ocenie występowania i opisie zmian chorobowych zaobserwowanych na kośćcu [Gładkowska-Rzeczycka, Sokół 2000; Krenz, Piontek 1996; Kwiatkowska 2005; Kozłowski 2012]. Odnotowano charakterystyczne cechy morfologiczne kości i uchwycono zmiany patologiczne i rozwojowe w zakresie schorzeń dających obraz na kośćcu, zgodnie z klasyfikacją J. Gładkowskiej-Rzeczyckiej [1989].

Badania antropologiczne szczątków kostnych osobników dorosłych nie sprawiły trudności przy rekonstrukcji większości cech morfologicznego wyglądu osobników, jak i możliwości rekonstrukcji procesów biologicznych, lecz badanie szczątków dziecięcych (niekompletnych i słabo zachowanych) były bardziej utrudnione i ograniczone, a ich analiza miała znacznie mniejsze możliwości rekonstrukcji.

## Wyniki analizy antropologicznej

**Grób 1/2018** (ryc. 4). Grzybowo, stan. 1. Badania wykopaliskowe 2018 rok. Wykop 2/2018 i 55 z roku 2007.

**OPIS SZKIELETU:** Czaszka kompletna<sup>11</sup> (*cranium*) uszkodzona; szkielet postkranialny zachowany, uszkodzony i niekompletny. Kości zostały uszkodzone mechanicznie. Podczas prac eksploracyjnych w 2018 roku została uszkodzona część twarzoczaszki: ukruszeniu uległy części kości czołowej (z odcinkami kręwdzi oczodołów) oraz części kości nosa i części kości jarzmowej. Uszkodzone były również kości dolnych kończyn (podczas eksploracji wykopu 55 przez ekspedycję w roku 2007) – brakuje kości całego prawego podudzia wraz z kośćmi stopy i brakuje kości stopy lewej. W 2007 roku podczas eksploracji wykopu 55 nie zauważono i nie zarejestrowano skraju wschodniego jamy grobowej z fragmentem dolnego postkranialnego szkieletu ludzkiego i nie rozpoznano kości ludzkich (poziom ten nie był wrysowany w dokumentacji w 2007 roku).

**CZASZKA:** budowa i rzeźba była mierna, lecz czytelna, o cechach czaszki męskiej [Acsádi, Nemeskéri 1970; Strzałko, Henneberg 1975; Piontek 1999]. Główne szwy czaszkowe częściowo obliterowane (od strony endokranialnej silnie). Wyrostki sutkowate dość duże i tępe, potylicy urzeźbiona – w pozycji bocznej ostro nawisła [Malinowski, Bożiłow 1997: 235]. Stwierdzono w kości skroniowej lewej prawie całkowicie zarośnięty otwór słuchowy zewnętrzny. W kości prawej otwór był normalnie wykształcony. Być może kostniak (nowotwór łagodny) wypełniał

<sup>11</sup> Pośmiertnie uszkodzona kość czołowa i kości twarzoczaszki – uszkodzenia mechaniczne.



Ryc. 4. Grzybowo gród, stan. 1, gm. Września. Grób 1/2018 – szkielet mężczyzny. Fot. J. Wrzeński  
 FIG. 4. Grzybowo stronghold, site 1, Września municipality. Grave 1/2018 a male skeleton. Photo by J. Wrzeński

światło lewego przewodu słuchowego zewnętrznego<sup>12</sup>. Kości szczęki i żuchwy zachowane kompletnie. Żuchwa silnej budowy, masywna, o znacznie wygiętych kątach. Wyrostek kłykciowy żuchwy miał dużą (o dużej szerokości) głowę (20,5 mm) z przesuniętą powierzchnią stawową do przodu. Był to początek zwyrodnienia (jeszcze o miernym nasileniu) stawu skroniowo-żuchwowego. Kształt żuchwy był pięciokątny, trapezoidalny [Malinowski, Bożyłow 1997: 277]. Żuchwa silnie wystająca. Za życia, w szczęcie po stronie prawej nie był wyrzynięty trzeci ząb trzonowy (ząb mądrości M3). W szczęcie zachowało się 15 zębów. W zębodołach kości szczęki, na całym odcinku zębów trzonowych strony lewej, tkwiły trzy martwe brunatne korzenie zębów (ostry stan zapalny w przyzębiu). Po stronie prawej, w szczęcie, tkwiły dwa zęby trzonowe (M1 i M2) o bardzo silnie startych koronach. W żuchwie było tylko 14 zębów – stwierdzono resorpcję zębodołów pierwszego zęba trzonowego i drugiego zęba przedtrzonowego po stronie prawej (M1, P2). W żuchwie najsilniejsze starcie koron stwierdzono w pierwszym zębie przedtrzonowym strony prawej (P1) oraz w drugim zębie przedtrzonowym

<sup>12</sup> Kość została przekazana do badań dr hab. Iwonie Teul z Pomorskiego Uniwersytetu Medycznego w Szczecinie.

i pierwszym zębem trzonowym (P2, M1) strony lewej. W obrębie żuchwy zaobserwowano początek występowania *torus mandibularis*.

Zarówno w żuchwie, jak i w szczęcie, stwierdzono oznaki przewlekłych zmian zapalnych przyzębia, których główną przyczyną są bakterie znajdujące się w kanale korzeniowym. Dodatkowo stan zapalny może być spowodowany rozległą, głęboką próchnicą powierzchni stycznych i przykorzeniowych zębów trzonowych [Dąbrowski 1999, tam dalsza literatura]. W żuchwie i szczęcie stwierdzono zmiany okołowierzchołkowe – ślady po ropniach korzeni zębów trzonowych i przedtrzonowych, a wraz z nimi obniżone wyrostki zębodołowe. W pierwszym zębem trzonowym lewym (M1) żuchwy stwierdzono aktywną próchnicę. Utrata przyżyciowa dwóch kolejnych zębów w żuchwie może wynikać prędzej z całkowitego zniszczenia tych zębów przez proces próchniczy<sup>13</sup> niż ze zmiany w przyzębiu, związanej z wiekiem osobnika. Zęby trzonowe były silnie starte, asymetrycznie na krawędziach i powierzchniach zużywanych. Sposób i stopień starcia zębów nie jest typowy, co może wskazywać na istnienie funkcjonalnej wady zgryzu. Wiek zębowy wg C.O. Lovejoy był w kategorii H i I, czyli wynosił 40-45 lat lub 45-55 lat, a dla zębów trzonowych w kategorii I, co odpowiada wiekowi 45-55 lat [Piontek 1999: 172]. Na zębach trzonowych stwierdzono kamień nazębny. Wykonano tylko kilka pomiarów kości czaszki – patrz tabela 1.

TABELA 1. Pomiary czaszki z grobu 1/2018 według R. Martina i K. Sallera [1957]. Oprac. A. Wrześcińska

TABLE 1. Measurements of the skull from grave 1/2018 according to R. Martin and K. Saller [1957]. Prepared by A. Wrześcińska

Pomiar		wartość (mm)
cięciwy części mózgowej	eu-eu (8)	144?
	ast-ast (12)	124
cięciwy żuchwy	go-go (66)	116
	gn-id (69)	30
	kdl-kdl (65)	125
	średnica głowy	-/20,5
	szer. gał. (71)	30/32

**KOŚCI SZKIELETU POSTKRANIALNEGO:** szkielet osiowy był kompletny, są kości kręgosłup szyjnych (zachowała się kość gnykowa i chrząstka tarczowata), jest cały kręgosłup piersiowy i wszystkie kręgi lędźwiowe i kość krzyżowa – tylko stan zachowania kości jest stosunkowo słaby (kości kruche i łamliwe). Szkielet

<sup>13</sup> Próchnica – ogniskowa martwica i demineralizacja tkanki zębowej. Powstaje na skutek zaburzeń w odżywianiu oraz upośledzenia przemiany materii w tkankach zęba, a także w następstwie działania bakterii i produktów fermentacji resztek jedzenia [Materna, Stachoń 2003].

kończyn górnych i dolnych nie był kompletny. Wydzielono kości pasa barkowego: są fragmenty prawego i lewego obojczyka, fragment prawej i lewej łopatki. Wystąpiły ułamki żeber, kości obręczy miednicznej. Są kości kończyny górnej i kości kończyny dolnej lewej (brakuje tylko kości stopy). Zarejestrowano tylko fragmenty prawej dolnej kończyny: jest prawa kość udowa (brak dalszej nasady kości); jest górna nasada prawej kości piszczelowej i są dwie kości prawej stopy (pierwsza kość śródstopia – palucha i paliczek bliższy palucha). Brak pozostałych kości. Budowa kości miernie masywna, rzeźba wyraźna. Kości szkieletu mają słabe i mierne zmiany przeciążeniowe. Były to głównie niewielkie zmiany w kręgosłupie: trzony kręgów szyjnych, piersiowych i lędźwiowych były nieznacznie obniżone i wystąpiły silniejsze przeciążenia po stronie lewej, widoczne na wyrostkach stawowych górnych. Stwierdzono słabe porowatości trzonów. Na dolnych powierzchniach trzonów ostatnich kręgów piersiowych i lędźwiowych były widoczne niewielkie zagłębienia w tkance kostnej (guzki Schmorla). Zmiany przeciążeniowe zaobserwowano również w stawie barkowym lewym – była szersza i bardziej wklęsła powierzchnia wydrążenia stawowego lewej łopatki; silny wycisk więzadła żebrowo-obojczykowego ze skostniałą krawędzią i silniejszą powierzchnią stawową końca mostkowego lewego obojczyka. Stwierdzono także silniejszą budowę lewej kończyny górnej. Masywna budowa i wyrazista rzeźba cechowały również obie kości udowe, lecz na prawej kości, na odcinku ok. 1/3 wysokości trzonu, stwierdzono otwarty częściowo(?) uraz – zadany tępym narzędziem jeszcze za życia osobnika, a będący w trakcie gojenia. *Post mortem* nastąpiło rozdzielanie trzonu kości na odcinku urazu. Stwierdzono brak skostnień więzadeł na kości rzepki lewej, jak i istotnych zmian w budowie kości lewego podudzia. Zmiany na powierzchni spojenia łonowego wg. T.W. Todda były w fazie IX (odpowiadający wiek to 45-50 lat) [Piontek 1999: 168]. Pomiary kości długich ujęto w tabeli 2.

TABELA 2. Pomiary kości pozaczaszkowych z grobu 1/2018 według R. Martina i K. Sallera [1957] i oszacowana wysokość ciała. Oprac. A. Wrześcińska

TABLE 2. Measurements of extracranial bones from grave 1/2018 according to R. Martin and K. Saller [1957] and estimated body height. Prepared by A. Wrześcińska

Kość	Pomiar	Wartość (mm)	
		prawa	lewa
1	2	3	4
obojczyk	długość największa (1)	135	136
	obwód trzonu (6)	33	36
ramieniowa	długość największa (1)	293	294
	długość całkowita (2)	288	291
	najmniejszy obwód trzonu (7)	58	59
	średnica głowy (10)	39	39,5

1	2	3	4
promieniowa	długość największa (1)	–	217
	długość fizjologiczna (2)	–	208
	najmniejszy obwód (3)	–	38
	średnica głowy (4)	–	18
łokciowa	długość największa (1)	–	242
	długość fizjologiczna (2)	–	213
	najmniejszy obwód (3)	–	35
udowa	długość największa (1)	–	406
	długość naturalna (2)	–	400
	obwód w środku trzonu (8)	85	80*
	średnica głowy (18)	42	45
pyszczelowa	długość największa (1a)	–	–
	długość całkowita (1)	–	–
	obwód trzonu (10)	–	67
strzałkowa	długość największa (1)	–	–
	obwód w środku trzonu (4)	–	34
Wysokość ciała [cm]	wg M. Trotter i G. Gleser	160,8	161,0
		<b>161,0</b>	
	wg L. Manouvriera	152,8	156,9
		<b>154,9</b>	

\* zmiany w obwodzie wskutek ubytków pozwierzęcych na powierzchni trzonu

WNIOSKI. Szkielet z grobu 1/2018 należał do osobnika dojrzałego, zmarłego w wieku *Maturus*<sup>14</sup>, tj. ok. 45-50 roku życia, płci męskiej<sup>15</sup>. Przepuszczalna przyżyciowa wysokość<sup>16</sup> ciała mężczyzny wg M. Trotter i G. Gleser wynosiła około 161,0 cm (osobnik niskorosły), a wg L. Manouvriera około 154,9 cm (osobnik

<sup>14</sup> Ocenę wieku dokonano, oceniając stopień obliteracji głównych szwów czaszkowych od strony egzo- i endokranielnej, oraz analizując starcie koron zębów, uwzględniając ocenę stopnia zużycia szkliwa oraz zębiny formujących guzki zębów wg C.O. Levejoy'a. Za wyznacznik wieku uznano również zmiany pojawiające się na powierzchni spojenia łonowego wg T.W. Todda.

<sup>15</sup> Określenia płci dokonano na podstawie morfologii czaszki, a także na podstawie cech miednicy, przy zastosowaniu ogólnie przyjętych w antropologii standardów [Acсаdi, Nemeskéri 1970; Strzałko, Henneberg 1975; Malinowski, Bożiłow 1997; Piontek 1999].

<sup>16</sup> Kości długie kończyn górnych i dolnych (prawe) zmierzono techniką antropometryczną [Martin, Saller 1957]. Na podstawie pomiarów kości długich zrekonstruowano przyżyciową wysokość ciała osobnika, stosując formuły opracowane przez M. Trotter i G. Gleser oraz L. Manouvriera [Piontek 1999].

bardzo niski). W czaszce mężczyzny, w kości skroniowej lewej stwierdzono prawie całkowicie zarośnięty otwór słuchowy zewnętrzny. Prawdopodobnie kostniak (nowotwór łagodny) wypełniał światło lewego przewodu słuchowego zewnętrznego – skutkowało to zaburzeniem w obrębie narządu słuchu i niedorozwojem lewego ucha zewnętrznego. Zarówno w żuchwie, jak i w szczęce stwierdzono oznaki przewlekłych zmian zapalnych przyzębia, rozległą głęboką próchnicę oraz zmiany okołowierzchołkowe – ślady po ropniach korzeni wraz z obniżonymi wyrostkami zębodołowymi. Stwierdzono utratę przyżyciową kolejnych zębów w żuchwie. Na kości udowej prawej, na trzonie, stwierdzono uraz w postaci ostrego cięcia kości od góry, zadany tępym narzędziem (jeszcze za życia osobnika), a będący w trakcie procesu gojenia (toczył się proces naprawczy). Przełamanie kości w osi urazu, jak i przemieszczenie (przesunięcie) dolnego odcinka wzdłuż krawędzi urazu to przypuszczalnie efekt upływu czasu i procesów rozkładu (procesów tafonomicznych) w grobie już po śmierci. Prawdopodobnie uraz prawej kończyny dolnej był przyczyną niewielkich zmian przeciążeniowych obserwowanych na kościach szkieletu strony lewej. Stwierdzono brak zmian wywołanych dużym wysiłkiem czy wykonywaną pracą.

Na kościach szkieletu, głównie strony lewej, stwierdzono silne ubytki w okostnej, kształtu owalnego lub wzdłużnego. Począwszy od czytelnych śladów na powierzchni przedniej kości lewej ciemieniowej; na lewej krawędzi dolnej trzonu i gałęzi żuchwy (na długości 12 cm); na trzonie lewego obojczyka i lewej kości łopatki (pojedyncze niewielkie ubytki zaobserwowano na prawym obojczyku i prawej łopatce); duże ubytki na powierzchni bocznej i górnej trzonu kości ramieniowej lewej (na długości 15 cm) (niewielkie na powierzchni tylnej trzonu prawej kości); silne ubytki na powierzchniach tylnych obu kości przedramienia lewego (na kości łokciowej na długości 8 cm, na kości promieniowej na długości 9 cm) (na prawym nie wystąpiły); niewielkie ubytki na pojedynczych żebrach strony lewej i prawej (na powierzchni przedniej i bocznej). Na talerzu biodrowym lewej kości miednicznej (na długości 9 cm) (prawa bez śladów ubytków); na bardzo dużej powierzchni trzonu (bocznie i od przodu na długości 23 cm) lewej kości udowej (prawa bez śladów ubytków); na przedniej powierzchni (na długości 7 cm) lewej kości piszczelowej. Na kości strzałki lewej i kości lewej rzepki brak śladów ubytków w okostnej. Stan zachowania kości i charakterystyczne, tylko powierzchniowe, ubytki po stronie lewej wskazują na zmiany *post mortem* pochodzenia naturalnego, związane z działalnością zwierząt. Obgryzanie okostnej przez zwierzęta objęło jedynie trzony kości długich (nasady nie były zaatakowane) i było tylko punktowe (nie zarejestrowano wygryzienia dookoła powierzchni trzonu). Najsilniej zwierzęta obgryzły wybrane powierzchnie trzech trzonów kości lewej ręki i powierzchnię bocznią i przednią trzonu lewej kości udowej.

**Grób 2/2018.** Grzybowo, stan. 1. Badania wykopaliskowe 2018 rok – odsłonięty podczas eksploracji świadka (między wykopem nr 2/2018 a starym wykopem nr 55



z badań wykopaliskowych z roku 2007) w trakcie odsłaniania kolejnych poziomów jamy grobu 1/2018 (ryc. 1).

OPIS SZKIELETU: Żuchwa kompletna, czaszka we fragmentach (uszkodzona); szkielet postkranialny – pojedyncze trzony kości kończyn górnych i odcinki szkieletu osiowego (uszkodzony i niekompletny).

CZASZKA: wycinki kości puszeki mózgowej o ostrych krawędziach szwów; kompletna żuchwa z pełnym uzębieniem mlecznym i wyrzynającymi (wykluwającymi się) pierwszymi zębami stałymi (trzonowymi M1). W zawiązkach tkwiły kolejne (jeszcze nie zmineralizowane) zęby stałe – siekacze i kieł.

KOŚCI SZKIELETU POSTKRANIALNEGO: drobne trzony prawej i lewej kości ramiennej (długość trzonu około 138-140 mm) i luźne nasady; trzon obojczyka; fragment mostka; ułamki żeber; wycinki łuków i trzonów kręgow szkieletu osiowego.

Kości należały do małego dziecka, zmarłego w wieku *Infans I*, czyli ok. 4-4,5 lat.

**Grób 1/2019** (ryc. 5). Grzybowo, stan. 1. Badania wykopaliskowe 2019 rok. Wykop 1/2019 i 1A/2019, w-wa II<sub>2</sub> / II<sub>3</sub>.

OPIS SZKIELETU: Czaszka była kompletna (*cranium*) (ryc. 7, 8); szkielet postkranialny zachowany miernie i słabo, kompletny (ryc. 6).

CZASZKA: w narysie z góry (*norma verticalis*) o kształcie pięciokątnym *pentagonoides obtusus* [Malinowski, Bożilow 1997: 223]. Budowa i rzeźba czaszki była delikatna i łagodna, o cechach budowy czaszki żeńskiej [Acsádi, Nemeskéri 1970; Strzałko, Henneberg 1975; Piontek 1999]. Łuki brwiowe słabe, brzeg górny oczodołu prawie ostry, czoło było proste z wyraźnymi guzami czołowymi, wyrostki sutkowate małe i krótkie. Stwierdzono ślady zaburzeń metabolicznych, symetryczne zmiany przerostowe – *cribra orbitalia*<sup>17</sup> w stropie obu oczodołów (prawy częściowo uszkodzony) o średnim stopniu ekspresji. Główne szwy czaszkowe były słabo i częściowo obliterowane (endokranialny szew jeszcze czytelny). W szwach czołowym i potylicznym zarejestrowano kostki wstawne. W szwie wieńcowym (czołowym) były trzy kostki – dwie małe kostki wstawne, po stronie prawej (o wymiarach: 1,1 cm x 1,2 cm i 0,7 cm x 1,1 cm) i jedna większa, po stronie lewej (w dolnym odcinku szwu) o wymiarach: 2,2 cm x 1,9 cm. W szwie węglowym (potylicznym) stwierdzono kolejne dwie kostki szwowe – dużą kostkę w punkcie *lambda* o wymiarach: szerokość 5,6 cm i wysokość 4,9 cm; a po stronie prawej niewielką kostkę o wymiarach 1,1 cm x 1,5 cm. Żuchwa była budowy

<sup>17</sup> *Cribra orbitalia* występuje w postaci porowatości górnego sklepienia oczodołu na skutek przerostu śródkościa jako reakcji na anemię wywołaną przez niedobór żelaza [Kozak, Krenz 1993: 376]. Powodować je może brak tego pierwiastka w pożywieniu, infekcje pasożytnicze, m.in. robaczyca czy utrata krwi [Gładkowska-Rzeczycka 1989: 23-24]. Zmiany te są wynikiem stresu, wywołanego okresowymi brakami w prawidłowym żywieniu i przebytymi chorobami w dzieciństwie. Obecność zmiany świadczy ogólnie o istnieniu niekorzystnych warunków środowiskowych [Kozak, Krenz 1993: 376].

żeńskiej o małych głowach wyrostków kłykciowych – prawa głowa o znacznym starciu chrząstki włóknistej na części przedniej (początki zmian w prawym stawie skroniowo-żuchwowym). W szczęcie stwierdzono obustronnie brak trzecich zębów trzonowych M3 (zębów mądrości) i pierwszego zęba trzonowego strony prawej M1, który za życia osobnika został usunięty, a w zębodole dobiegał końca proces jego wygojenia. Lewy ząb M1 szczęki miał całkowicie startą koronę i trwał proces zapalny w przyzębiu – zarejestrowano ubytek wyrostka zębodolowego powstały w efekcie rozwoju ropnia korzeniowego. Starcie zębów szczęki było nierównomierne i asymetryczne. Silnie starta była korona drugiego zęba trzonowego M2 i całkowicie pierwszego zęba M1 strony lewej, a słabe starcie wszystkich pozostałych 11 zębów (w tym również słabo starta była korona zęba M2 strony prawej). W żuchwie był komplet 16 zębów. W prawym zębodole trzeciego trzonowca tkwił tylko martwy brunatny korzeń, w lewym ząb M3 był dopiero wyrżnięty i miał tylko słabo starte guzki. W koronie, na powierzchni przedniej zęba, stwierdzono destrukcję tkanki zęba i niewielki ubytek próchnicowy. Starcie zębów żuchwy również było nierównomierne. Korony pierwszych zębów trzonowych M1 strony prawej i lewej miały silnie asymetrycznie i boczne starte brzegi sieczne (tak jak i w szczęcie). Lewy ząb trzonowy M2 strony lewej starty był miernie (prawy słabo). Pozostałe zęby żuchwy o nieznacznym i słabym starciu. Na zębach odnotowano złogi kamienia nazębnego. Na kłach i siekaczach stwierdzono niedorozwój w budowie szkliwa zębów – *hypoplazję*<sup>18</sup> szkliwa w postaci linii (stan średni). Siekacze były stłoczone, silniej po stronie lewej (wada zgryzu). Starcie powierzchni żujących pozostałych zębów było wg C.O. Lovejoy w kategorii D i E [Piontek 1999: 172] – ogólnie słabe. Silne tylko w pierwszych zębach trzonowych (M1 obustronnie) i średnie w drugich trzonowych (M2) tylko po stronie lewej. Takie starcie asymetryczne brzegu zębów (w szczęcie silne, w żuchwie mierne) powstało prawdopodobnie na skutek używania zębów (silniej po stronie lewej) jako narzędzia pracy do podtrzymywania drobnych przedmiotów, np. rzemienia bądź sznurka (ryc. 9).

Pomiary czaszki zawarto w tabeli 3, wartości wskaźników w tabeli 4.

<sup>18</sup> *Hypoplazja* powstaje podczas formowania szkliwa na zębach mlecznych i jest wyznacznikiem stresów fizjologicznych u osobników do około siódmego roku życia. Przejawia się ubytkiem szkliwa na powierzchni korony zęba, powstającym w efekcie niepełnego wykształcenia warstwy szkliwnej. Jest niespecyficzną reakcją morfologiczną na różnego typu zaburzenia ogólnoustrojowe i dlatego może być traktowana jako wskaźnik stresu rozwojowego. Szkliwo raz uformowane nie podlega remodelowaniu, jego rozwój cechuje rytmiczność i regularność, dając chronologiczny zapis działania czynników zakłócających formowanie się koron zębów [Krenz, Piontek 1996; Krenz-Niedbała 2000].



Ryc. 5. Grzybowo gród, stan. 1, gm. Września. Grób 1/2019 – szkielet kobiety. Fot. J. Wrześniński  
FIG. 5. Grzybowo stronghold, site 1, Września municipality. Grave 1/2019 – a female skeleton.  
Photo by J. Wrześniński



Ryc. 6. Grzybowo gród, stan. 1, gm. Wrzeźnia. Szkielet postkranialny kobiety z grobu 1/2019 w trakcie analizy antropologicznej. Fot. A. Wrzeźńska

FIG. 6. Grzybowo stronghold, site 1, Wrzeźnia municipality. Postcranial skeleton of a woman from grave 1/2019 undergoing anthropological analysis. Photo by A. Wrzeźńska



Ryc. 7. Grzybowo gród, stan. 1, gm. Wrzeźnia. Czaszka kobiety z grobu 1/2019 w ujęciu od przodu. Fot. A. Wrzeźńska

FIG. 7. Grzybowo stronghold, site 1, Wrzeźnia municipality. Skull of a woman from grave 1/2019 in frontal view. Photo by A. Wrzeźńska

**Ryc. 8.** Grzybowo gród, stan. 1, gm. Wrzeźnia. Czaszka kobiety z grobu 1/2019 w ujęciu bocznym. Fot. A. Wrzeźńska

**FIG. 8.** Grzybowo stronghold, site 1, Wrzeźnia municipality. Skull of a woman from grave 1/2019 in side view. Photo by A. Wrzeźńska



**Ryc. 9.** Grzybowo gród, stan. 1, gm. Wrzeźnia. Żuchwa kobiety z grobu 1/2019 w ujęciu z góry – zaznaczone pierwsze zęby trzonowe M1, strony prawej i lewej, o startych powierzchniach żujących. Fot. A. Wrzeźńska

**FIG. 9.** Grzybowo stronghold, site 1, Wrzeźnia municipality. Mandible of a woman from grave 1/2019 in top view – marked, first molars of M1, right and left sides, with abraded chewing surfaces. Photo by A. Wrzeźńska



**TABELA 3.** Pomiary czaszki z grobu 1/2019 wg R. Martina i K. Sallera [1957]. Oprac. A. Wrzeźńska  
**TABLE 3.** Measurements of the skull from grave 1/2019 according to R. Martin and K. Saller [1957]. Prepared by A. Wrzeźńska

Pomiar		Wartość (mm)
1	2	3
ciężkiwy części mózgowej	g-op 1)	191
	eu-eu (8)	143
	ft-ft (9)	98
	ba-b (17)	139

1	2	3
cięciwy części twarzowej	n-pr (48)	71
	n-ns (55)	51
	mf-ek (51)	38
	sbk-spa (52)	34
	apt-apt (54)	22
cięciwy zuchwy	go-go (66)	113
	gn-id (69)	33
	kdl-kdl (65)	124
	śred. głowy	18/20
	szer. gał. (71)	-/31
obwód	obw. poz. (23)	548

TABELA 4. Wskaźniki czaszki z grobu 1/2019 wg R. Martina i K. Sallera [1957]. Oprac. A. Wrze-  
sińska

TABLE 4. Skull indices from grave 1/2019 according to R. Martin and K. Saller [1957]. Prepared  
by A. Wrzesińska

Wskaźnik	Wartość
szerokościowo-długościowy	74,8
nosa	43,1
oczodołowy	89,4
wysokościowo-szerokościowy Hrdlički-Kóčki	83,2
wysokościowo-szerokościowy	97,2
wysokościowo-długościowy	72,7
czołowo-szerokościowy	68,5

KOŚCI SZKIELETU POSTKRANIALNEGO: były delikatnej budowy, posiadały słabo zaznaczone przyczepy mięśniowe i były lekkie. Tylko obie kości ramienne (prawa i lewa) cechuje bardzo silny rozwój miejsc przyczepów mięśni odcinków bliższych trzonów kończyn górnych, co może być efektem określonej aktywności fizycznej badanego osobnika. Ich wybitną rzeźbę z silnie rozwiniętą guzowatością naramienną i wybitnym grzebieniem guzka większego możemy wiązać z określoną czynnością życiową i przeciążeniem. Zmiany te dowodzą masowości odpowiednich grup mięśni [Duda 1996: 146]. Na obu kościach łokciowych zaobserwowano nieznacznie *crista pronatoria* – miejsce przyczepu mięśnia nawrotnego czworobocznego. Na kościach promieniowych nie zaobserwowano zmian. Dobiegały końca procesy kostnienia m.in. końca mostkowego obojczyków

i krawędzi górnej talerza biodrowego, nie były zrośnięte rękoność i trzon mostka. Zarejestrowano niezakończony kostnienie pierwszego kręgu kości krzyżowej. Proces kostnienia nasad kości kończyn był zakończony. Zaobserwowano słabe zmiany zwyrodnieniowe w obrębie kręgosłupa/szkieletu osiowego (niewielkie i słabe skostnienia na kręgach piersiowych, silniejsze na kręgach lędźwiowych). Duża zmiana degeneracyjna wystąpiła w kości krzyżowej. Pierwszy krąg krzyżowy (S1) miał zdeformowane oba wyrostki poprzeczne i żebra szczątkowe (lewy silniej – prawdopodobnie w wyniku urazu? w wieku młodzieńczym). Pierwszy odcinek grzebienia krzyżowego pośrodkowego (powstały przez zrośnięcie wyrostków kolczystych) był bocznie skrzywiony (złamany w lewo), a pierwszy wyrostek nie był całkowicie połączony z pozostałymi. Trzon kręgu nie był do końca zrośnięty z drugim kręgiem kości krzyżowej (czytelna szczelina – otwarta kresa poprzeczna między pierwszym a drugim kręgiem). Kość krzyżowa w widoku od tyłu ma asymetrycznie ustawione wyrostki stawowe górne (prawy niżej, szerszy), w widoku z przodu część boczna prawa kości jest obniżona w stosunku do części lewej. To przykład częściowego uwolnienia się pierwszego kręgu krzyżowego, lumbalizacji polegającej na niepełnym połączeniu pierwszego kręgu z pozostałą częścią kości krzyżowej<sup>19</sup>. Ta zmiana chorobowa może powodować przedwczesne zmiany degeneracyjne i trudności w poruszaniu się. Zmiany na powierzchni spojenia łonowego wg T.W. Todda były w fazie III lub IV, wskazując na wiek osobnika około 22-24 lub 25-26 lat [Piontek 1999:168]. Na kościach kończyn dolnych, na powierzchniach trzonów (bez części przynasadowych) stwierdzono ograniczone nieregularne obszary sklerotyzacji widoczne w strukturze kostnej trzonu. Te słabe, a miejscami o średniej ekspresji nawarstwienia tkanki kostnej powstały na skutek reakcji zapalnych na trzonach kości udowych i trzonach kości piszczelowych (silniej na kościach prawych). Ślady reakcji zapalnych okostnej stwierdzono w częściach środkowych trzonów, najsilniej na powierzchni przedniej i bocznej, ale i rejestrowane (słabo) na powierzchni tylnej obu kości udowych. Dla kości piszczelowych ślady reakcji zapalnej okostnej są widoczne tylko na brzegu przyśrodkowym obu trzonów. Te zaburzenia metaboliczne występujące w postaci wypukłych prążków na powierzchni kości i jako delikatne pasma nowej zapalnej warstwy tkanki kostnej układały się wzdłuż jej osi długiej [Kozłowski 2012: 104-105, ryc. 58]. Pomiar kości długich zamieszczono w tabeli 5.

<sup>19</sup> Kość krzyżowa powstaje ze zrośnięcia się pięciu kręgów krzyżowych, co następuje dopiero u dorosłych, w wieku 20-25 lat. Dźwiga masę górnej części ciała i przenosi ją na kończyny dolne za pośrednictwem obręczy kończyny dolnej [Bochenek 1990: 232-233].

TABELA 5. Pomiary kości pozaczaszkowych z grobu 1/2019 wg R. Martina i K. Sallera [1957] i oszacowana wysokość ciała. Oprac. A. Wrześcińska

TABLE 5. Measurements of extracranial bones from grave 1/2019 according to R. Martin and K. Saller [1957] and estimated body height. Prepared by A. Wrześcińska

Kość	Pomiar	Wartość (mm)	
		prawa	lewa
ramieniowa	długość największa (1)	312	309
	długość całkowita (2)	309	307
	najmniejszy obwód trzonu (7)	62	61
	średnica głowy (10)	42	41,5
promieniowa	długość największa (1)	238	236
	długość fizjologiczna (2)	223	221,5
	najmniejszy obwód (3)	39,5	38,5
	średnica głowy (4)	20	19,5
łokciowa	długość największa (1)	257	252
	długość fizjologiczna (2)	230	226
	najmniejszy obwód (3)	40	37
udowa	długość największa (1)	442	–
	długość naturalna (2)	439	–
	obwód w środku trzonu (8)	83	84
	średnica głowy (18)	46,5	46
piszczelowa	długość największa (1a)	348	351
	długość całkowita (1)	330	338
	obwód trzonu (10)	68	67
strzałkowa	długość największa (1)	–	–
	obwód w środku trzonu (4)	33	32
wysokość ciała (cm)	wg M. Trotter i G. Gleser	164,6	164,4
		<b>164,5</b>	
	wg L. Manouvriera	161,9	161,3
		<b>161,6</b>	

Na obu kościach udowych stwierdzono przesunięcie powierzchni stawowej głowy na przednio-górną powierzchnię szyjki (bardzo silnie prawą – lewa częściowo uszkodzona). Takie przesunięcie jest związane z długotrwałym zginaniem kończyn w stawie biodrowym i w stawie kolanowym [Duda 1996: 145-147]. Obserwując występujący zakres zmian na kościach szkieletu badanego osobnika, stwierdzono ślady chorób, zmian powstających w wyniku nadmiernego przecią-



żenia, zaliczane również do schorzeń, oraz cechy związane z wykonywaną pracą (zawodem) – pozycją ciała lub kończyny. Można przypuszczać, że zmiany zaobserwowane w stawie biodrowym są wynikiem częściej przyjmowanej pozycji zgięcia i odwodzenia np. w czasie jazdy konnej za R. Duda [1996, tam dalsza literatura].

WNIOSKI. Szkielet z grobu 1/2019 należał do dorosłego osobnika płci żeńskiej, zmarłego w wieku *Adultus*, tj. około 22-26 roku życia. Płeć osobnika określono na podstawie cech budowy kości czaszki, kości miednicznych i morfologii szkieletu. Oceny wieku w chwili śmierci dokonano na podstawie stanu zaawansowania rozwoju szkieletu, stopnia uformowania zawiązków i wyrzynania się kolejnych zębów, analizy starcia koron zębowych, obliteracji zachowanych odcinków szwów czaszkowych, stopnia skostnienia nasad kości długich oraz na podstawie zmian morfologicznych kośćca [Ubelaker 1989; Piontek 1996]. Z wyliczonych wskaźników (tabela 4) wynika, że kobieta miała głowę średnią (średnioczaszkowy), o średniej wysokości, o średnim czole, o wąskim nosie i wysokich oczodołach. Przypuszczalna przyżyciowa wysokość ciała kobiety wg M. Trotter i G. Gleser wynosiła około 164,5 cm, a wg L. Manouvriera około 161,6 cm. Był to osobnik o dużej wysokości ciała.

### Kości szkieletu dziecka z grobu 1/2019.

OPIS SZKIELETU: rozpoznano tylko dwie kości: jedna, niewielka kość długa, została odsłonięta *in situ* (patrz plan grobu 1/2019, nr rys. 12/2019) przy prawej kości udowej (poniżej miednicy osobnika dorosłego) (ryc. 3); drugą kość wydzielono z materiału zasypiska lewej kości miednicznej i kości udowej. Były to drobne trzony kości długich szkieletu dziecięcego.

KOŚCI SZKIELETU POSTKRANIALNEGO: trzon kości łokciowej prawej (długość trzonu powyżej 6,5 cm) i kompletny trzon lewej kości piszczelowej o długości 9 cm (wystąpił przy prawej kości udowej dorosłego osobnika). Nie zarejestrowano luźnych nasad tych kości.

Kości należały do małego dziecka, zmarłego w wieku *Infans I*, tj. ok. 10-12 miesiąca życia (tj. około 1 roku).

## Uzupełnienie

W 2019-2020 roku spośród materiałów zwierzęcych z obiektów osadowych i warstw z lat 1998 i 2007 (badania Mariusza Tuszyńskiego i Krystyny Sulkowskiej-Tuszyńskiej), przekazanych do opracowania gatunkowego profesorowi dr. hab. Danielowi Makowieckiemu, który wydzielił w ramach dwóch wykopów (wykop 26 i wykop 55) pojedyncze kości ludzkie. Analiza antropologiczna pozwoliła stwierdzić, iż materiał obejmował kości czterech różnych osobników. W przypadku dwóch osobników szkielety zostały odkryte w roku 2018 w nowo

założonym wykopie 2/2018, przylegającym ścianą południową do dawnego wykopu 55. Pozostali osobnicy zostali zarejestrowani po raz pierwszy.

W wykopie 26, badanym w 1998 roku, wśród kości zwierzęcych wydzielono dwie kości ludzkie:

1. numer inwentarza kości zwierzęcych 1705/98: kompletny trzon kości ramiennej prawej o długości 64,5 mm – kość małego dziecka, noworodka lub niemowlęcia zmarłego w wieku *Infans I*, tj. około 0-3 miesiąca życia (ryc. 10).
2. numer inwentarza kości zwierzęcych 1716/98: kompletna część skalista kości skroniowej prawej (kość delikatna, budowa średnia) – prawdopodobnie młodej kobiety zmarłej jeszcze w wieku *Juvenis* lub już w wieku *Adultus*.

W wykopie 55 z roku 2007 z materiału zwierzęcego wydzielono luźny, stały ząb małego dziecka (wykop 13N 2E; w-wa 2; głębokość 105,02-114,95 m n.p.m.) i grupę kości należącą do jednego dorosłego osobnika (wykop 13N 2E; w-wa 2-5):

1. numer inwentarza ceramiki i kości zwierzęcych 2062: zawiązek stałego zęba trzonowego M1 który tkwił w kości szczęki, już zmineralizowany, lecz jeszcze bez wykształconego korzenia – ząb należał do dziecka, którego grób został odsłonięty w świadku wykopu badanego w roku 2018, numer grobu 2/2018. Dziecko zmarło w wieku *Infans I*, tj. w wieku 4-4,5 lat (patrz opis grobu 2/2018 i ryc. 1).
2. numery inwentarza kości zwierzęcych 2781; 2784; 2966; 2986; 3015: wycinek nasady dalszej kości piszczelowej lewej z zachowaną powierzchnią stawową dolną i kostką przyśrodkową dojrzałego osobnika (struktura gąbczasta już rozrzedzona). Fragment kości składał się w całość z trzonem lewej kości piszczelowej z grobu 1/2018 (patrz opis grobu 1/2018 i ryc. 2, 4). Wydzielono również kości prawie kompletnej stopy lewej tego samego osobnika (kości stępu – kość sześciennej, łódkowatą i kości klinowate; wszystkie pięć kości śródstopia – wraz z kompletną pierwszą kością palucha i dwoma paliczkami, bliższym i dalszym). Wydzielono także dwie kolejne kości śródstopia stopy prawej i ułamki trzonu kości piszczelowej prawej tego samego osobnika – mężczyzny zmarłego w wieku *Maturus*, tj. około 45-50 roku życia z grobu 1/2018.

W 2020 roku wśród materiałów zwierzęcych przekazanych do opracowania gatunkowego, z badań sezonu 2018, profesor dr hab. Daniel Makowiecki wydzielił pojedynczą kość ludzką z wykopu 1/2018 (założonym w partii wschodniej grodu niedaleko bramy wschodniej). Wykop oddalony był o około 200 metrów na południowy wschód od wykopów 55 i wykopu 2/2018. W warstwie III<sub>4</sub>, zarejestrowanej na głębokości 103,53-103,30 m n.p.m. (nr inwentarza kości 22/2018) luźno wystąpiła drobna/mała/niewielka kość dziecka. Był to kompletny trzon prawej kości ramiennej o długości 42 mm. Dziecko zmarło w okresie płodowym/prenatalnym, jako wcześniak (*Infans I*). Rekonstrukcja długości ciała na podstawie kości długiej pozwoliła uznać, iż mamy do czynienia z kością dziecka o długości ciała około 35,3 cm wg metody V Balthazarda lub 32,9±1,8 cm wg metody H. Pineau

[Malinowski, Strzałko 1985: 52]. Zastosowane metody rekonstrukcji długości ciała płodu z pomiaru długości trzonu (*diaphysis*) kości ramiennej pozwoliły określić długość płodu na około 35 cm, to pozwoliło na ustalenie przybliżonego jego wieku. Przepuszczalny statystycznie wzrost dziecka urodzonego w 40 tygodniu ciąży pozwala dla noworodka zmarłego w wieku 0 miesiąca życia przyjąć wartość wzrostu ciała na poziomie 50-55 cm. Dziecko, którego kość ramienna ma długość 42 mm, zmarło prawdopodobnie w 28-31 tygodniu życia płodowego, tj. w siódmym miesiącu ciąży [za Malinowskim, Strzałko 1985: 52] (ryc. 10).



RYC. 10. Grzybowo gród, stan. 1, gm. Września. Kości ramienne prawe małych dzieci w wieku *Infans I*: 1 – noworodka lub niemowlęcia zmarłego około 0-3 miesiąca życia; 2 – siedmiomiesięcznego płodu. Fot. M. Jóźwikowska, oprac. komp. J. Kordus

FIG. 10. Grzybowo stronghold, site 1, Września municipality. Right humerus bones of young children at the age of *Infans I*: 1 – a newborn or an infant who died around 0-3 months of age; 2 – a seven-month-old foetus. Photo by M. Jóźwikowska, computer edition by J. Kordus

## Podsumowanie

Na grodzie w Grzybowie w wyniku przeprowadzonych badań wykopaliskowych i opracowań naukowych odsłonięto i udokumentowano trzy groby szkieletowe i luźny materiał szkieletowy kolejnych czterech osobników, patrz tabela 6:

1. Grób 1/2018 z pochówkiem **mężczyzny** zmarłego w wieku *Maturus*, tj. **około 45-50 roku życia** (ryc. 1, 4);
2. Grób 2/2018 z pochówkiem **małego dziecka** zmarłego w wieku *Infans I*, tj. **w wieku około 4-4,5 lat** (ryc. 1);
3. Grób 1/2019 z pochówkiem **kobiety** zmarłej w wieku *Adultus*, tj. **około 22-26 roku życia** (ryc. 3, 5, 6, 7, 8, 9);
4. Przy szkieletcie kobiety w grobie 1/2019 (prawdopodobnie z zasypiska) wystąpiły dwie kości długie kończyn kolejnego **małego dziecka** zmarłego w wieku *Infans I*, tj. **około 10-12 miesiąca** życia (tj. około 1 roku);
- 5-6. W materiale masowym z badań wykopaliskowych z roku 1998 rozpoznano dwie kości ludzkie pochodzące ze szkieletów dwóch kolejnych osobników – **dziecka**, noworodka lub niemowlęcia zmarłego w wieku *Infans I*, tj. **około 0-3 miesiąca życia** (ryc. 10) i **młodej kobiety** zmarłej w wieku *Juvenis-Adultus*;
7. W materiale masowym z wykopu 1/2018 rozpoznano pojedynczą kość ludzką należącą do **płodu dziecka**, wcześniaka zmarłego w wieku *Infans I*, tj. **w 28-31 tygodniu** życia płodowego (ryc. 10).

TABELA 6. Struktura wieku i płci zmarłych pochowanych na grodzie w Grzybowie. Oprac. A. Wrześcińska

TABLE 6. Age and gender structure of the deceased buried at the stronghold in Grzybowo. Prepared by A. Wrześcińska

	Wiek						Ogółem	
	0-7 lat <i>Infans I</i>	7-14 lat <i>Infans II</i>	14-22 lata <i>Juvenis Juv-Ad</i>	22-35 lat <i>Adultus</i>	35-55 lat <i>Maturus</i>	>55 lat <i>Senilis</i>	N	%
Mężczyźni	–	–	–	–	1	–	1	14,3
Kobiety	–	–	1	1	–	–	2	28,6
Dzieci	4	–	–	–	–	–	4	57,1
<b>Ogółem</b>	<b>4</b>	<b>–</b>	<b>1</b>	<b>1</b>	<b>1</b>	<b>–</b>	<b>7</b>	<b>100,0</b>

Wyniki datowań radiowęglowych  $^{14}\text{C}$  AMS pozwoliły sytuować pochówki na XII-XIII wiek.

Grzybowo **szkielet z grobu 1/2018**<sup>20</sup> Date (850,30) 68.2% probabilisty – 1163AD (68.2%) 1221AD; 95.4% probabilisty – 1052AD (5.2%) 1080AD; **1152AD (90.2%) 1260AD**;

Grzybowo **kość zwierzęca**<sup>21</sup> Date (1125,30) – 68.2% probabilisty – 891 (68.2%) 970AD; 95.4% probabilisty – 777AD (2.4%) 791AD; 807AD (1.2%) 819AD; 825AD (2.1%) 842AD; **862AD (89.7%) 991AD**;

Grzybowo **szkielet z grobu 1/2019**<sup>22</sup> Date (744,22) 68.2% probabilisty – 1262AD (68.2%) 1280AD; 95.4% probabilisty – 1228AD (1.2%) 1232AD; **1245AD (90.2%) 1288AD**.

W wyniku badań genomicznych DNA ustalono płeć genetyczną<sup>23</sup> szkieletów/osobników z dwóch grobów. W grobie 1/2018 – płeć genetyczna męska; płeć antropologiczna męska. W grobie 2/2018 – płeć genetyczna męska; płeć antropologiczna nieokreślona.

Badaniom izotopowym poddano próby zębów ludzkich oraz zęby i kości zwierzęce z grobów i obiektów osadowych. Badania izotopów stabilnych strontu (Sr) jako wskaźnika pochodzenia ludzi i archeofauny dla szkieletów z grobów 1/2018, 2/2018 i 1/2019 wykonał prof. dr hab. Zdzisław Bełka w Poznańskim Laboratorium Izotopowym UAM w Poznaniu – opracowanie wyników tych badań znajduje się w niniejszym tomie.

Badania trwałych izotopowych węgla i azotu (C/N), wykonane dla szkieletów z grobów 1/2018 i 2/2018 pozwoliły dokonać rekonstrukcji diety osobników pochowanych na grzybowskiem grodzie. Badania wykonali dr Aleksandra Lisowska-Gaczorek i prof. dr hab. Krzysztof Szostek z Instytut Nauk Biologicznych UKSW w Warszawie – opracowanie wyników w tym tomie.

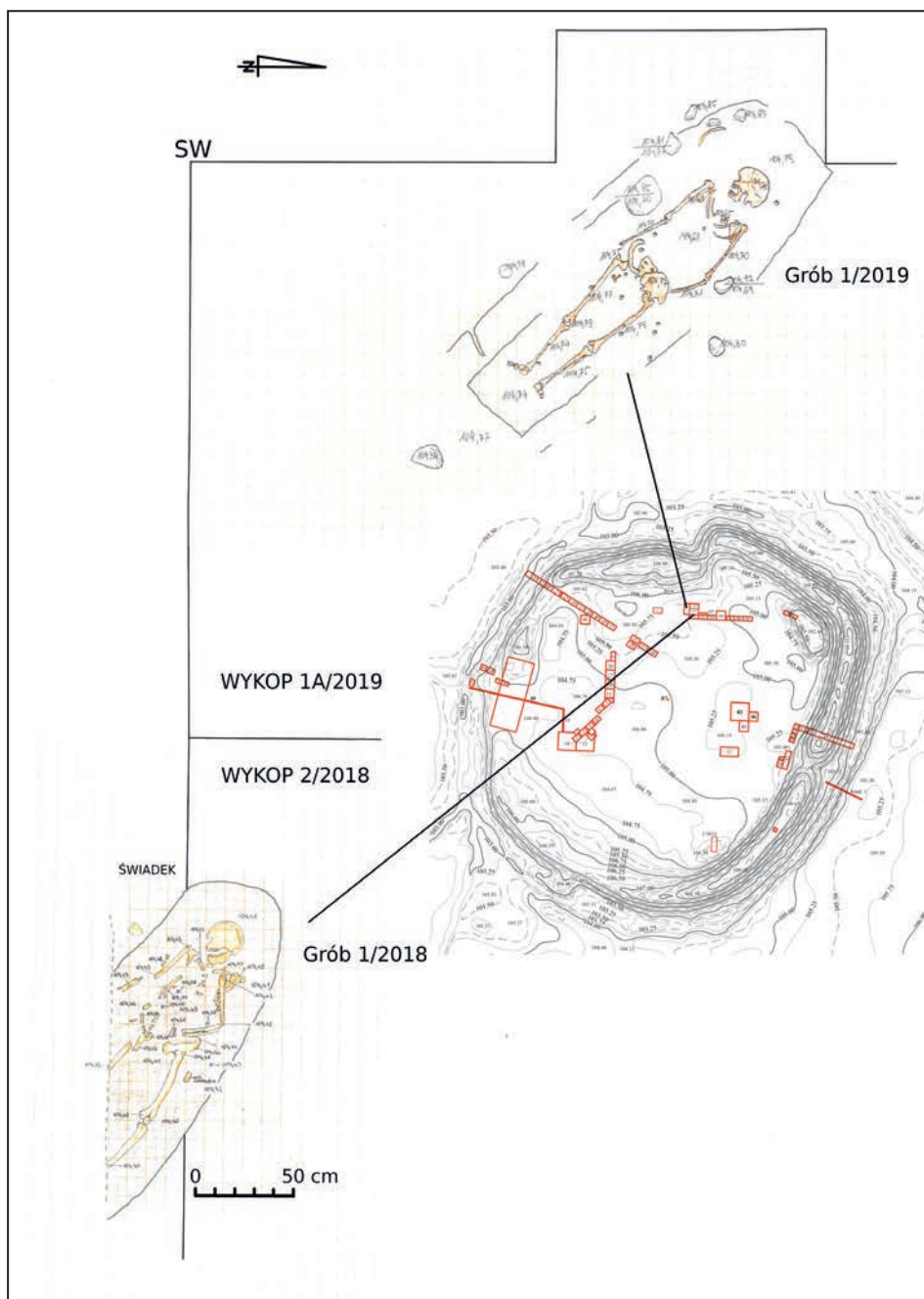
Odkrycie trzech grobów (w odległości 2,80 cm od siebie, patrz ryc. 11) i fragmentów ludzkich szczątków bezpośrednio we wnętrzu grzybowskiego grodu jest niezwykle interesujące i zmusza nas do weryfikacji kilku poglądów odnośnie

<sup>20</sup> Badania wykonał prof. dr hab. Tomasz Goslar w Poznańskim Laboratorium Radiowęglowym (Nr pracy 14220/18), przekazano fragment prawej kości miednicznej z grobu 1/2018.

<sup>21</sup> Badania wykonał prof. dr hab. Tomasz Goslar w Poznańskim Laboratorium Radiowęglowym (Nr pracy 14220/18), przekazano fragment zwierzęcej kości piszczelowej (nr inw. kości 127/2018, partia zachodnia wykopu, po eksploracji grobu 1/2018, w-wa VIb, gł. 104,38-104,17).

<sup>22</sup> Badania wykonał prof. dr hab. Marek Krąpiec w Laboratorium Datowań Bezwzględnych, Cianowice (Nr pracy MKL-A4932/20), przekazano fragment górnego trzonu prawej kości promieniowej z grobu 1/2019.

<sup>23</sup> Badania wykonał prof. dr hab. Marek Figlerowicz w ramach projektu NCN „Dynastia i społeczeństwo państwa Piastów w świetle zintegrowanych badań historycznych, archeologicznych i genomicznych” (nr grantu 2014/12/W/NZ2/00466; materiały przygotowywane do publikacji), przekazano z grobu 1/2018 cztery zęby (przedtrzonowe P1, P2 i trzonowe M1, M2 szczęki, strony prawej), a z grobu 2/2018 dwa zęby trzonowe żuchwy (mleczny m2 i stały M1 z zawiązka, strony prawej).



Ryc. 11. Grzybowo gród, stan. 1, gm. Września. Lokalizacja grobów 1/2018 i 1/2019 na majdanie grodu w ramach wykopu 2/2018 i 1A/2019. Oprac. A. Wrzeńska

FIG. 11. Grzybowo stronghold, site 1, Września municipality. Location of graves 1/2018 and 1/2019 on the maidan of the stronghold from excavation 2/2018 and 1A/2019. Prepared by A. Wrzeńska

funkcjonowania i wykorzystania tego obiektu. Przede wszystkim nie mamy informacji na temat pochówków, ani z początków istnienia grodu, kiedy najprawdopodobniej były to pochówki ciałopalne, ani z jego młodszego okresu użytkowania, kiedy miejscowi mogli być chowani w obrządku szkieletowym. Odkrycie takich nekropoli dostarczyłoby argumentów do dyskusji nad lokalnymi przemianami obrzędowości sepulkralnej, ale też nad rolą i znaczeniem grzybowskiego grodu. Dodatkowo dość późne (jak na funkcjonowanie grodu) datowanie omówionych wyżej pochówków na XII/XIII wiek, zmuszają nas do ciągłej weryfikacji ustaleń dotyczących czasu użytkowania obiektu i postawienia znaku zapytania, jaką rolę gród pełnił po okresie jego intensywnego zamieszkiwania, czyli po poł. XI wieku. Otwartym pozostaje również zasadnicze pytanie postawione w tytule niniejszego artykułu: Gdzie chowano zmarłych z grzybowskiego grodu w czasie jego największej świetności?

### Bibliografia

#### Literatura

- ACSÁDI G., NEMESKÉRI J.  
1970 *History of Human Life Span and Mortality*, Akademiai Kiado, Budapest.
- BOGACKI M., DANIELEWSKI M., MAŁKOWSKI W., MIESZKOWSKI R., MISIEWICZ K., WRZEŚIŃSKI J.  
2018 *Interdyscyplinarne badania wczesnośredniowiecznego grodziska w Grzybowie, pow. wrzesiński*, [w:] *Metody geofizyczne w archeologii polskiej. Spotkanie V, 21-23 listopada 2018 r.*, red. M. Wiewióra, T. Herbich, Toruń, s. 19-21.
- BRZESKI O.  
1936-1938 *Grodzisko wczesnośredniowieczne w Grzybowie w powiecie wrzesińskim*, „Z Otchłani Wieków”, R. 13, s. 151-153.
- BRZESKI O., KURNATOWSKA Z., TUSZYŃSKI M.  
2000 *Dziesięciolecie badań wykopaliskowych grodziska w Grzybowie, gm. Września, byłej woj. poznańskiej*, „Wielkopolskie Sprawozdania Archeologiczne”, t. 5, s. 57-72.
- BRZOSTOWICZ M.  
2003 *Rozwój osadnictwa średniowiecznego na ziemi wrzesińskiej w świetle źródeł archeologicznych*, [w:] *Archeologia powiatu wrzesińskiego*, red. M. Brzostowicz. Poznań-Września, s. 89-120.
- BUIKSTRA J.E., UBELAKER D.H.  
1994 *Standards for Data collection from Human Skeletal Remains: proceedings of a seminar at The Field Museum of Natural History*, Arkansas Archeological Survey Research Series, t. 44, Fayetteville.
- CZUPRYŃSKA R.  
2002 *Kwestia wczesnośredniowiecznych grobów ciałopalnych w Górze, stanowisko 2*, [w:] *Popiół i kość. Funeralia Lednickie, spotkanie 4*, red. J. Wrzeźsiński, Sobótka-Wrocław, s. 449-466.

DANIELEWSKI M.

2021 *The stronghold in Grzybowo in the context of interdisciplinary research into the functions of early medieval strongholds from the 10<sup>th</sup> and 11<sup>th</sup> centuries*, Poznań.

DANIELEWSKI M., WRZESIŃSKI J.

2021 *The gord in Grzybowo in the light of interdisciplinary research*, [w:] *30 rokov výskumu Nitranskeho hradu 1988-2018. Zborník referátov z konferencie venovaný k 80. Narodeninám Alexandra T. Ruttkaya*, red. P. Bednar, M. Ruttkay, Nitrae, s. 177-190.

DANIELEWSKI M., WRZESIŃSKI J., GŁÓD A. (RED.)

2021 *Wczesnośredniowieczny gród w Grzybowie*, *Origines Polonorum*, t. 15, Warszawa.

DĄBROWSKI P.

1999 *Wstępna analiza odontologiczna zachowanego uzębienia ludzkiego ze stanowiska Masłomęcz 15: materiał sezonów 1996-1997*, „*Archeologia Polski Środkowoschodniej*”, t. 4, s. 251-255.

DĘBSKI A.

2021 *Wyroby ceramiczne z grodziska w Grzybowie, pozyskane w latach 2018-2019*, [w:] *Wczesnośredniowieczny gród w Grzybowie*, red. M. Danielewski, J. Wrzesiński z udziałem A. Głód, *Origines Polonorum*, t. 15, Warszawa, s. 261-308.

DOMINICZAK-GŁOWACKA D.

2010 *Olgiard Brzeski – od pasji archeologią po zwieńczenie marzeń*, „*Studia Lednickie*”, t. 10, s. 169-173.

FLORKOWSKI A., KOZŁOWSKI T.

1994 *Ocena wieku szkieletowego dzieci na podstawie wielkości kości*, „*Przegląd Antropologiczny*”, t. 57, z. 1-2, s. 71-86.

GŁADYKOWSKA-RZECZYCKA J.

1989 *Schorzenia ludności prahistorycznej na ziemiach polskich*, Gdańsk.

GŁADYKOWSKA-RZECZYCKA J.J., SOKÓŁ A.

2000 *Schorzenia mieszkańców Gdańska pochowanych w grobach z XIV-XIX wieku w kościele św. Jana*, „*Scripta Periodica*”, vol. III, No 2/2000, supl. 1/2000, s. 109-123.

GORCZYCA K., LIPOWCZYK N.

2011 *Sprawozdanie z badań ratunkowych przeprowadzonych w Kramsku, gm. loco, pow. Konin, stan. 2*, „*Konińskie Zeszyty Muzealne*”, t. 7, s. 19-28.

GORCZYCA K., OLIŃSKA K.

1989 *Cmentarzyska wczesnośredniowieczne w Bilczewie i Rumnie woj. konińskie*, „*Konińskie Zeszyty Muzealne*”, t. 1, s. 49-68.

GORCZYCA K., SCHELLNER K.

2012 *Cmentarzysko wczesnośredniowieczne w Bilczewie, pow. Konin. Archeologiczne badania ratownicze na terenie odkrywki „Drzewce” KWB Konin*, Konin.

KOZŁOWSKI T.

2012 *Stan biologiczny i warunki życia ludności in Culmine na Pomorzu Nadwiślańskim (X-XIII wiek)*, [w:] red. W. Chudziak, *Mons Sanciti Laurentii*, t. 7, Toruń.



KOZAK J., KRENZ M.

1993 *Występowanie cribra orbitalia i hypoplazji szkliwa w średniowiecznej populacji z Kołobrzegu*, [w:] *Człowiek w czasie i przestrzeni*, red. J. Gładkowska-Rzezycka, Gdańsk, s. 376-380.

KÓČKA-KRENZ H.

1974 *Sprawozdanie z badań wykopaliskowych na cmentarzysku z okresu wpływów rzymskich i wczesnego średniowiecza w Koninie, stan. B*, „*Fontes Archaeologici Posnanienses*”, t. 24 (1973), s. 244-246.

KRAPIEC M.

2021 *Analizy dendrochronologiczne*, [w:] *Wczesnośredniowieczny gród w Grzybowie*, red. M. Danielewski, J. Wrzesiński z udziałem A. Głód, *Origines Polonorum* t. 15, Warszawa, s. 187-190.

KRENZ-NIEDBAŁA M.

2000 *Metodyka badań hypoplazji szkliwa*, [w:] *Nowe techniki i technologie badań materiałów kostnych*, red. J. Charzewski, J. Piontek, Warszawa, s. 73-89.

KRENZ M., PIONTEK J.

1996 *Hypoplazja szkliwa w średniowiecznej populacji ze Słaboszewa*, „*Przegląd Antropologiczny*”, t. 59, s. 87-90.

KRZYSZOWSKI A.

2008 *Cmentarzysko (?) typu Alt Käbelich w Wilanowie, stan. 12, pow. Grodzisk Wlkp.*, [w:] *Wielkopolska w dziejach. Archeologia o regionie*, red. H. Machajewski, Poznań, s. 215-229.

KRZYSZOWSKI A.

2010 *Rytualne paleniska czy obiekty grobowe (?) z przełomu okresu „późnorzymskiego” i wczesnych faz wczesnego średniowiecza w Wilanowie (stan. 12), gmina Kamieniec, w woj. wielkopolskim*, „*Slavia Antiqua*”, t. 51, s. 165-225.

KŘIVÁNEK R.

2021 *Geofyzikální průzkum vnitřní části raně středověkého hradiště Grzybowo v roce 2015*, [w:] *Wczesnośredniowieczny gród w Grzybowie*, red. M. Danielewski, J. Wrzesiński z udziałem A. Głód, *Origines Polonorum*, t. 15, Warszawa, s. 145-198.

KURNATOWSKA Z., TUSZYŃSKI M.

2009 *Grzybowo pod Wrześnią. Wczesnopiastowski gród na szlaku z Giecza do Gniezna*, [w:] *Custodia Memoriae. Muzeum Pierwszych Piastów na Lednicy. XL lat istnienia (1969-2009)*, Biblioteka Studiów Lednickich, seria A, t. 1, red. A.M. Wyrwa, Lednica, s. 141-155.

MALINOWSKI A., BOŻIŁOW W.

1997 *Podstawy antropometrii. Metody, techniki, normy*, Warszawa-Łódź.

MALINOWSKI A., STRZAŁKO J.

1985 *Antropologia*, Warszawa-Poznań.

MAŁKOWSKI W.

2021 *Badania magnetyczne i opracowanie chmury punktów lotniczego skaningu laserowego dla grodziska i osady podgrodowej w Grzybowie*, [w:] *Wczesnośredniowieczny gród w Grzybowie*, red. M. Danielewski, J. Wrześniński z udziałem A. Głód, *Origines Polonorum*, t. 15, Warszawa, s. 121-131.

MARTIN R., SALLER K.

1957 *Lehrbuch der Anthropologie in systematischer Darstellung. Mit besonderer Berücksichtigung der anthropologischen Methoden für Studierende, Ärzte und Forschungsreisende*, Stuttgart.

MATERNA M., STACHOŃ A.

2003 *Choroby w przeszłości*, Bochnia.

MISIEWICZ K., MIESZKOWSKI R.

2021 *Grodzisko w Grzybowie w świetle badań elektrooporowych i elektromagnetycznych*, [w:] *Wczesnośredniowieczny gród w Grzybowie*, red. M. Danielewski, J. Wrześniński z udziałem A. Głód, *Origines Polonorum*, t. 15, Warszawa, s. 133-143.

PAWLAK P.

2013 *Cmentarzysko ciałopalne i osada ze starszego stadium wczesnego średniowiecza w Myszęcinie*, [w:] *Myszęcín, stanowisko 19, województwo lubuskie. Od młodszej epoki kamienia po XX wiek*, red. E. Pawlak, P. Pawlak, Zielona Góra, s. 169-395.

2018 *Przejawy słowiańskiej i skandynawskiej obrzędowości pogrzebowej doby „plemiennej” na cmentarzysku w Myszęcinie na Ziemi Lubuskiej, „Slavia Antiqua”*, t. 59, s. 221-237.

PIECZYŃSKI Z.

1967 *Cmentarzysko z okresu wędrówek ludów i wczesnego średniowiecza z Konina*, „*Fontes Archaeologici Posnanienses*”, t. 18, s. 54-67.

PIONTEK J.

1999 *Biologia populacji pradziejowych*, Poznań.

SCHWARTZ W.

1875 *Burgwälle (Schwedenschanzen) und dergleichen*, *Verhandlungen der Berliner Gesellschaft für Anthropologie, Ethnologie und Urgeschichte* 1878, s. 315-316.

SIM

1972 *Marzenin* (hasło), [w:] *Studia i materiały do osadnictwa Wielkopolski wczesnohistorycznej*, red. W. Hensel, Z. Hilczer-Kurnatowska, Wrocław-Warszawa-Kraków-Gdańsk, t. 6, s. 26.

STĘPNIK T.

2021 *Analiza dendrologiczna prób drewna ze stanowisk Dziekanowice 22 oraz Grzybowo 1* (maszynopis – Pracownia Antropologiczna MPP na Lednicy).

STOLARCZYK H., LORKIEWICZ W.

1993 *Wysokość ciała ludności terytorium Polski od neolitu do współczesności*, [w:] *Miscellanea archaeologica Thaddaeo Malinowski dedicata quae Franciscus Rożnowski redigendum curavit*, Słupsk-Poznań, s. 325-340.

- STRZAŁKO J.  
1971 *Metody rekonstrukcji wzrostu człowieka na podstawie pomiarów szkieletu*, „Przegląd Antropologiczny”, t. 37, z. 2, s. 295-314.
- STRZAŁKO J., HENNEBERG M.  
1975 *Określanie płci na podstawie szkieletu*, „Przegląd Antropologiczny”, t. 41, z. 1, s. 105-126.
- UBELAKER D. H.  
1989 *Human Skeletal Remains. Excavation, Analysis, Interpretation*, Chicago.
- WIERCIŃSKA A.  
1980 *Zmienność cech typów budowy ciała w ciągu ostatniego tysiąclecia na podstawie materiału szkieletowego z Wiślicy*, „Materiały i Prace Antropologiczne”, nr 98, s. 133-203.
- WRZESIŃSKA A., WRZESIŃSKI J.  
2021 *Antropologia grobów ciałopalnych cmentarzyska Dziekanowice 22*, „Slavia Antiqua”, t. 62, s. 171-191.
- WRZESIŃSKI J.  
2018 *Przemiany osadnicze w „regionie grzybowskim” – perspektywy badawcze*, [w:] *Archeologia dawnego osadnictwa Wielkopolski*, red. H. Machajewski, Poznań, s. 119-134.
- WRZESIŃSKI J.  
2021 *Stratygrafia według danych z lat 2018-2019. Katalog nawarstwień*, [w:] *Wczesnośredniowieczny gród w Grzybowie*, red. M. Danielewski, J. Wrzesiński z udziałem A. Głód, *Origines Polonorum*, t. 15, Warszawa, s. 155-170.
- WRZESIŃSKI J., DANIELEWSKI M.  
2018 *Zaplecze osadnicze grodu w Grzybowie*, „Historia Slavorum Occidentis”, t. 2 (17), s. 86-104.
- ZOLL-ADAMIKOWA H.  
1979 *Wczesnośredniowieczne cmentarzyska ciałopalne Słowian na terenie Polski*, cz. 2: *Analiza, wnioski*, Wrocław.
- ZOLL-ADAMIKOWA H.  
1988 *Przyczyny i formy recepcji rytuału szkieletowego u Słowian nadbałtyckich we wczesnym średniowieczu*, „Przegląd Archeologiczny”, t. 35, s. 183-229.
- ZOLL-ADAMIKOWA H.  
2000 *Postępy chrystianizacji Słowian przed rokiem 1000 (na podstawie źródeł nekropolicznych)*, [w:] *Święty Wojciech i jego czasy. Materiały III Sympozjum Historyczno-Archeologicznego Polskiego Uniwersytetu na Obczyźnie, Saint-Maurice 12-13 kwietnia 1997 roku*, red. A. Źaki, Kraków, s. 103-109.

## Where were the inhabitants of the Grzybowo stronghold buried?

## S u m m a r y


Three skeletal graves and loose skeletal material of another four individuals (see Table 6) were uncovered and documented at the stronghold in Grzybowo as a result of excavations and scientific studies. Grave 1/2018 with the burial of a man who died at the age of *Maturus*, i.e. about 45-50 years old, grave 2/2018 with the burial of a young child who died at the age of *Infans I*, i.e. about 4-4.5 years old, and grave 1/2019 with the burial of a woman who died at the age of *Adultus*, i.e. about 22-26 years old, were uncovered. Two long limb bones of a young child who died at the age of *Infans I*, i.e., about 10-12 months of age (i.e., about 1 year old), were found next to the female skeleton in grave 1/2019 (probably from a backfill). Two human bones from the skeletons of two more individuals – a young child, a newborn or an infant who died at *Infans I*, i.e., around 0-3 months of age, and a young woman who died at *Juvenis-Adultus* – were recognized from the bulk material of the 1998 excavation. A single human bone belonging to a seven-month-old foetus, who died at 28-31 weeks of foetal life (age *Infans I*), was identified in the bulk material from pit 1/2018.

The discovery of three graves (at a distance of 2.80 cm from each other, see Fig. 11) and fragments of human remains directly inside the stronghold in Grzybowo is extremely interesting and forces us to verify several views on the functioning and use of the gord. First of all, there is still no information on burials from the period of the stronghold's use – neither the highly probable cremations from the period of the stronghold's beginnings, nor from its earlier period of functioning when locals may have been buried in skeletal rites. The discovery of such necropolises would provide arguments for discussing local transformations of sepulchral rituals, but also the role and significance of the stronghold in Grzybowo. In addition, the rather late 12th/13th century (for the functioning of the stronghold) dating of the discussed burials forces us to keep verifying the time of use of the gord and to put a question mark on what role this stronghold played after the period of intensive habitation, i.e. after the mid-11th century. The fundamental question posed in the title of this article also remains open: where were the dead of the stronghold in Grzybowo buried during its greatest glory?

Translated by Marta Koszko

otrzymano (received): 13.04.2022; zrecenzowano (revised): 03.08.2022; zaakceptowano (accepted): 12.12.2022

mgr Anna Wrzesińska  
Muzeum Pierwszych Piastów na Lednicy  
Pracownia Antropologiczna  
Dziekanowice 32  
62-261 Lednogóra  
e-mail: przyroda.aw@lednica.pl

 <https://orcid.org/0000-0003-0603-356X>

mgr Jacek Wrzesiński  
Gniezno  
e-mail: jaled@wp.pl

 <https://orcid.org/0000-0003-1255-6295>